

J/ψ 辐射衰变过程中 3⁻⁺ 胶子球的产生

沈齐兴 李炳安 郁 宏 张美曼

(中国科学院高能物理研究所)

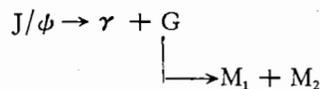
摘 要

本文导出了过程 $J/\psi \rightarrow \gamma + G(3^{-+})$, $G(3^{-+}) \rightarrow M_1 M_2$ 的多重角关联函数, 其中 G 是 $J^{PC} = 3^{-+}$ 的态, M_1 和 M_2 是自旋为零的介子. 本文还讨论了 3^{-+} 胶子球态并计算了过程 $J/\psi \rightarrow \gamma + G(3^{-+})$ 的螺旋性 (helicity) 振幅之比. 结果表明, 其中的一个比率与胶子球的质量无关, 其值很小.

非阿贝尔规范场理论预言了胶子球的存在^[1-4]. 在 J/ψ 辐射衰变过程中发现的 $\psi(1440)$ ^[5] 很可能就是一个胶子球^[2,6,7]. 如何将胶子球与由正反层子构成的介子加以区分, 这是一个十分重要而又困难的问题. 一些模型^[2,3]曾预言了具有奇特 (exotic) 量子数的胶子球 (例如 3^{-+} 胶子球) 的存在. 本文将讨论在 J/ψ 辐射衰变过程 $J/\psi \rightarrow \gamma + G(3^{-+})$ 中产生的 3^{-+} 胶子球 G ; 提出确认 3^{-+} 胶子球的一般方法; 指出这种胶子球的一般性质. 我们发现, 螺旋性振幅之比 y (定义见下面) 近似为零, 并且这个结果和 3^{-+} 胶子球的质量无关. 而这个讨论完全适用于 Υ 粒子的相应过程.

我们知道, J/ψ 粒子的辐射衰变过程是一个有利于胶子球产生的过程^[8]. 由二个胶子组成的, 质量小于 J/ψ 粒子质量的胶子球最有可能在这种过程中找到. 至今, 尚未发现由正反层子对组成的奇特态. 因此, 如果在实验上发现了这种奇特态, 它很可能就是一个胶子球. 在 MIT 口袋模型中, 存在由 $2^+(TM) 2^-(TE)$ 组成的 3^{-+} 态^[2]. $2^+(TM)$ 的能量为 $E = 5.7634/R$, $2^-(TE)$ 的能量为 $E = 3.96/R$, 利用没有自旋相互作用的 MIT 口袋模型的质量公式可以估计出 3^{-+} 胶子球的质量大约为 2GeV . 当然, 还应当考虑自旋相互作用的效应^[13], 但是根据 Barnes 的计算^[12], 自旋效应所引起的能量的改变只有几百 MeV. 因此在我们以下的计算中取了胶子球的质量 $m_G = 1.8, 1.9, 2.0, 2.2, 2.4$ 和 2.6GeV .

本文首先考虑过程



的多重角关联, 其中 M_1 和 M_2 是自旋为零的介子, 例如 $\pi\pi$ 或 $\eta\eta$ 等. 然后, 我们用微扰 QCD 计算过程 $J/\psi \rightarrow \gamma + G(3^{-+})$ 的螺旋性振幅之比 x 和 y . 这些比值出现在角关联

的公式中.

在文献[9]中已讨论了 J/ψ 辐射衰变产生自旋为 2 和 1 的粒子的情形, 现在我们来讨论产生自旋为 3 的粒子的情形. 过程 $J/\psi \rightarrow \gamma + G(3^-)$ 的矩阵元为

$$\langle \gamma_{\lambda_1} G_{\lambda_2} | S | J_{\lambda} \rangle = -i(2\pi)^4 \delta^4(p_J - p_\gamma - p_G) \frac{1}{\sqrt{8\omega_\gamma E_G E_J}} T_{\lambda_1} \quad (1)$$

其中 λ_1, λ_2 和 λ 分别是光子 γ , G 和 J/ψ 粒子的角动量的 Z 分量, ω_γ, E_G 和 E_J 分别是这些粒子的能量. T_{λ_1} 是螺旋性振幅. 我们选取 G 静止的坐标系. 由角动量守恒, 我们有

$$T_3 = 0. \quad (2)$$

由于时间反演和空间反射的不变性, 我们只有三个独立的振幅 T_2, T_1 和 T_0 . 定义

$$x = T_1/T_0, \quad y = T_2/T_0 \quad (3)$$

我们可以得到如下的角关联公式:

$$\begin{aligned} W_3(\theta_\gamma, \theta, \phi) &= (1 + \cos^2\theta_\gamma) \left(\frac{5}{2} \cos^3\theta - \frac{3}{2} \cos\theta \right)^2 \\ &+ \sqrt{\frac{3}{8}} x \sin 2\theta_\gamma \sin 2\theta \left(\frac{5}{2} \cos^2\theta - \frac{3}{2} \right) \left(\frac{5}{2} \cos^2\theta - \frac{1}{2} \right) \cos\phi \\ &+ 1/4 \sqrt{\frac{15}{2}} y \sin^2\theta_\gamma \sin^2 2\theta \left(\frac{5}{2} \cos^2\theta - \frac{3}{2} \right) \cos 2\phi \\ &+ \frac{3}{2} x^2 \sin^2\theta_\gamma \sin^2\theta \left(\frac{5}{2} \cos^2\theta - \frac{1}{2} \right)^2 \\ &- 3\sqrt{5/8} xy \sin 2\theta_\gamma \sin 2\theta \sin^2\theta \left(\frac{5}{2} \cos^2\theta - \frac{1}{2} \right) \cos\phi \\ &+ \frac{15}{8} y^2 (1 + \cos^2\theta_\gamma) \sin^4\theta \cos^2\theta \end{aligned} \quad (4)$$

其中 θ_γ 是在 e^+e^- 质心系中测量的光子方向和束流方向之间的夹角. (θ, ϕ) 是在 G 的静止系中 G 的衰变产物 M_1 或 M_2 的极角和方位角, 这里选取了光子方向作为 Z 轴方向, 而电子束位于 $\phi = 0$ 的平面中.

从公式(4)看到, W_3 包含二个参数 x 和 y , 而文献[9]中给出的相应于自旋为 2 的粒子的角关联 W_2 中也包含二个参数 x 和 y . 因此我们有必要说明, 在一定的条件下 W_3 和 W_2 是可以区分的. 事实上, 只要取 θ_γ 很小(这正是实验上常取的范围), 我们得到

$$\begin{aligned} W_2 &= \frac{1}{2} \left\{ (3\cos^2\theta - 1)^2 + \frac{3}{2} y^2 \sin^4\theta \right\} + O(\theta_\gamma) \\ W_3 &= \frac{1}{2} (5\cos^3\theta - 3\cos\theta)^2 \\ &+ 15/4 y^2 \sin^4\theta \cos^2\theta + O(\theta_\gamma) \end{aligned} \quad (5)$$

再让 θ 接近于 $\pi/2$, 即得

$$W_2 \approx \frac{1}{2} \left(1 + \frac{3}{2} y^2 \right) \geq \frac{1}{2} \quad (6)$$

$$W_3 \approx 0$$

上面的讨论可以推广到 G 的角动量 $J > 3$ 的情形。当然,由于螺旋性守恒,独立的振幅仍然只有 T_2, T_1 和 T_0 。所以在角关联公式中也只包含二个独立参量 x 和 y 。多重角关联的普遍公式为:

$$W_J(\theta_r, \theta, \phi) = \frac{4\pi}{2J+1} \{ Y_{J_0}^2(1 + \cos^2\theta_r) - \sqrt{2} Y_{J_0} \text{Re} Y_{J_1} x \sin 2\theta_r + 2 Y_{J_0} \text{Re} Y_{J_2} y \sin^2\theta_r + 2x^2 |Y_{J_1}|^2 \sin^2\theta_r + \sqrt{2} \text{Re}(Y_{J_1}^* Y_{J_2}) xy \sin 2\theta_r + |Y_{J_2}|^2 y^2 (1 + \cos^2\theta_r) \} \quad (7)$$

其中 Y_{JM} 是以 θ 和 ϕ 为其宗量的球谐函数。注意到

$$W_J(\theta_r, \theta, \phi) \Big|_{\substack{\theta_r=0 \\ \theta=\pi/2}} = \frac{8\pi}{2J+1} \{ Y_{J_0}^2 + |Y_{J_2}|^2 y^2 \} \quad (8)$$

特别当 J 为奇数时

$$W_J \Big|_{\substack{\theta_r=0 \\ \theta=\pi/2}} = 0$$

我们感兴趣的是 G 是胶子球的情形。在最低阶微扰 QCD 中,由 J/ψ 辐射衰变产生胶子球的费曼图由图 1 所示:

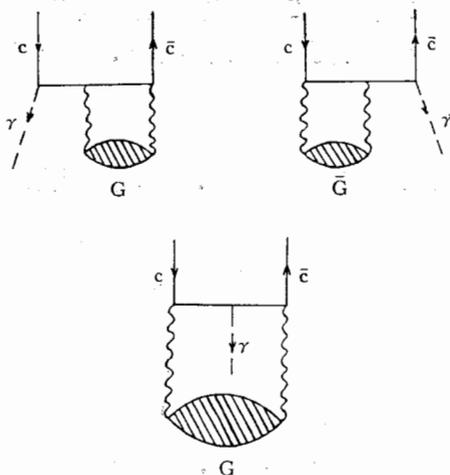


图 1

下面我们来计算这些费曼图的贡献。取 3^{-+} 胶子球的波函数为

$$\begin{aligned} & \langle G_{3_2} | T \{ A_a^i(x_1) A_b^j(x_2) \} | 0 \rangle \\ &= \frac{1}{\sqrt{2m_G}} e^{i p_G \cdot (x_1 + x_2)} \delta_{ab} G(x) \sum_{\substack{m_1 m_2 m_3 m_4 \\ m_5 M_1 M_2 M_3}} C_{3M_3^3, 1M_1}^3 Y_{2, 1M_1} C_{2M_2^3, 1m_5}^3 \\ & \quad C_{1m_3^2, 1m_4}^2 C_{1m_1^1, 1m_2}^1 e_a^{m_1^*} e_b^{m_2^*} (x \cdot e^{m_3^*}) (x \cdot e^{m_4^*}) (x \cdot e^{m_5^*}) \end{aligned} \quad (9)$$

其中 $x = x_1 - x_2$, $G(x)$ 对于 x_1 和 x_2 的交换是对称的, e_a^m 是圆极化矢量。 J/ψ 粒子的波函数为:

$$\langle 0 | T \{ \psi(x_1) \bar{\psi}(x_2) \} | J_2(p_J) \rangle$$

$$= \frac{1}{2\sqrt{2}} e^{-\frac{i}{2} p_J \cdot (x_1 + x_2)} \phi_J(x) \sqrt{\frac{m_J}{E_J}} \left(1 + \frac{\hat{p}_J}{m_J}\right) \delta^2(p_J) \quad (10)$$

由于粲层子的质量比 J/ψ 粒子的内部动量大得多, 所以我们可以忽略 J/ψ 粒子的内部运动. 对于胶子球, 作为零级近似, 也可忽略胶子球的内部运动. 这样, 在计算 S 矩阵元(1)时将近似地用 J/ψ 和 G 的零点波函数 $\phi_J(0)$ 和 $G(0)$ 代替波函数 $\phi_J(x)$ 和 $G(x)$. 计算得到螺旋性振幅 T_2 , T_1 和 T_0 分别为

$$\begin{aligned} T_2 &= \frac{8}{3\sqrt{6}} e g^2 G(0) \phi_J(0) \frac{\sqrt{m_J}}{m_c^8 m_G^3} (m_J^2 - m_G^2)^3 \left(\frac{2m_c}{m_J} - 1\right) \\ T_1 &= \frac{8}{3\sqrt{30}} e g^2 G(0) \phi_J(0) \frac{\sqrt{m_J}}{m_c^8 m_G^3} (m_J^2 - m_G^2)^3 \left\{ \frac{4m_G}{m_J} - 3 \right. \\ &\quad \left. + \frac{3 \left[8m_c^2 - \frac{2m_c}{m_J} (m_J^2 + m_G^2) + m_J^2 - m_G^2 + \frac{1}{2m_J m_G} \left(\frac{2m_c}{m_J} - 1\right) (m_J^2 - m_G^2)^2 \right]}{m_J^2 - 2m_G^2 + 4m_c^2} \right\} \\ T_0 &= \frac{8}{3\sqrt{5}} e g^2 G(0) \phi_J(0) \frac{\sqrt{m_J}}{m_c^8 m_G^3} (m_J^2 - m_G^2)^3 \left(\frac{2m_c}{m_J} + 1\right) \quad (11) \end{aligned}$$

由于角动量守恒, 图1中的前二个图对 T_2 没有贡献, 由于特殊的张量结构, 这二个图对 T_0 也没有贡献. 将(11)式代入(3)式即可得到比率 x 和 y . 一个有兴趣的结果是

$$y = \sqrt{\frac{5}{6}} \frac{2m_c - m_J}{2m_c + m_J} \quad (12)$$

这个比率的第一个特点是与胶子球的质量无关. 但 y 依赖于层子质量. 在表1中给出了比率 y 随 m_c 的变化.

表 1

$m_c(\text{GeV})$	1.3	1.4	1.5
y	-0.08	-0.05	-0.02

从表1我们可以看到比率 y 的第二个特点: 由于 $2m_c \approx m_J$, y 的数值很小. 这是本文的主要结果.

在文献[10]和[11]中, 为了拟合实验数据和得到与实验相一致的结果, 我们取了 $m_c = 1.3\text{GeV}$. 由于这里所用的近似方法和那里一样, 所以, 如果我们仍取粲层子质量 $m_c = 1.3\text{GeV}$, 则

$$y = -0.08 \quad (13)$$

如果我们取

$$\frac{5}{2} \cos^2 \theta - \frac{1}{2} = 0 \quad (14)$$

即

$$\theta = 63.4^\circ \text{ 或 } 116.6^\circ$$

则(4)式成为:

$$W_3(\theta_\gamma, \phi) = \frac{1}{5} (1 + \cos^2 \theta_\gamma) - \frac{2\sqrt{6}}{5\sqrt{5}} y \sin^2 \theta_\gamma \cos 2\phi + \frac{6}{25} y^2 (1 + \cos^2 \theta_\gamma) \quad (15)$$

它和 x 无关. 由此很容易定出过程的 y 值, 这对于从实验上判断 G 是否是 3^{-+} 胶子球是很有益的.

比率 x 的值依赖于胶子球的质量, 它的数值由表 2 给出.

表 2

$M(\text{GeV})$	1.8	1.9	2.0	2.2	2.4	2.6
x	0.42	0.46	0.49	0.55	0.62	0.68

本文的结论如下:

1. 本文得到了多重角关联的普遍公式, 利用这个公式我们可以分析在 J/ψ 辐射衰变过程中产生粒子的量子数 J^{PC} .

2. 对于 J/ψ 辐射衰变产生的 3^{-+} 胶子球, 其 y 值接近于零, 并且这个结果和 3^{-+} 胶子球的质量无关. 这个结果也适用于过程

$$\Upsilon \rightarrow \gamma + \text{胶子球}(3^{-+}).$$

参 考 文 献

- [1] H. Fritzsch and P. Minkowski, *Nuovo Cimento*, **30A** (1975), 393; P. G. O. Freund and Y. Nambu, *Phys. Rev. Lett.*, **34** (1975), 1645; J. Willemsen, *Phys. Rev.*, **D13** (1976), 1327; J. Kogut, D. Sinclair and L. Susskind, *Nucl. Phys.*, **B114** (1976), 119; K. Ishikawa, *Phys. Rev.*, **D20** (1979), 731; C. E. Carlson, J. Coyne, P. Fishbane, F. Gross and S. Meshkov, *Phys. Lett.*, **98B** (1981), 110.
- [2] K. F. Donoghue, K. Johnson and B. A. Li, *Phys. Lett.*, **99B** (1981), 416.
- [3] D. Robson, *Nucl. Phys.*, **B130** (1977), 328; J. D. Bjorken, SLAC Summer Institute on Particle Physics, 1979; J. J. Coyne, P. M. Fishbane and S. Meshkov, *Phys. Lett.*, **91B** (1980), 259.
- [4] J. F. Donoghue, Invited talk at the VIth Intern. Conf. On Experimental meson spectroscopy (Brookhaven, April 1980); J. F. Donoghue, Invited talk at the XXth Intern. Conf. On High Energy Physics (Madison WI, July 1980) p35.
- [5] D. L. Scharre et al., *Phys. Lett.*, **97B** (1980), 329; C. Edwards et al., *Phys. Rev. Lett.*, **49** (1982), 259.
- [6] M. Chanowitz, *Phys. Rev. Lett.*, **46** (1981), 981.
- [7] K. Ishikawa, *Phys. Rev. Lett.*, **46** (1981), 978.
- [8] T. Appelquist, A. De Rujula, H. D. Politzer, and S. L. Glashow, *Phys. Rev. Lett.*, **34** (1975), 265; M. S. Chanowitz, *Phys. Rev.*, **D12** (1975), 918; L. B. Okun and M. B. Voloshin, Institute of Theoretical and Experimental Physics, Moscow, Report No. ITEP-95-1976, 1976 (Unpublished); S. J. Brodsky, T. A. De Grand, R. R. Horgan and D. G. Coyne, *Phys. Lett.*, **73B** (1978), 203; K. Koller and T. Walsh, *Nucl. Phys.*, **B140** (1978), 449.

- [9] P. K. Kabir and A. J. G. Hey, *Phys. Rev.*, **D13** (1976), 3161.
[10] B. A. Li and Q. X. Shen, *Phys. Lett.*, **126B** (1983), 125.
[11] 郁宏等, 高能物理与核物理, **8**(1984), 284.
[12] Barnes, *Z. Phys.*, **10** (1981), 275.
[13] Barnes et al., *Phys. Lett.*, **110B** (1981), 159; *Nucl. Phys.*, **B198** (1982), 380.

PRODUCTION OF A 3^{-+} GLUEBALL IN J/ψ RADIATIVE DECAY

SHEN QI-XING LI BING-AN YU HONG ZHANG MEI-MAN
(*Institute of High Energy Physics, Academia Sinica*)

ABSTRACT

The multiple angular-correlation function for the sequential decays $J/\psi \rightarrow \gamma + G(3^{-+})$, $G(3^{-+}) \rightarrow M_1 M_2$, where G is a $J^{PC} = 3^{-+}$ state and M_1 and M_2 are spinless mesons, is deduced. A 3^{-+} glueball state is discussed and the ratios of the helicity amplitudes of $J/\psi \rightarrow \gamma + G(3^{-+})$ are calculated. One ratio is independent of the glueball's mass and very small.